

緩閉塞における水擊圧の静的応力解析結果に関する考察について

東北大学 ○ 山川秀記 河野幸夫 菅井幸仁

I 水擊理論

(1) 岩盤内の水擊波伝播速度

トンネル内の水擊波伝播速度 a は厚肉管の伝播速度 a 式(1)と固定条件 C (-端固定(2)式)において、肉厚 e を無限化することにより(3)式が得られる。

$$(P/e)C = P/e \frac{1}{1 + \frac{K}{\rho}} [(54 - \mu) + 2\% (1 + M)(1 + \eta_D)] \quad \cdots (2)$$

$$a = \sqrt{\frac{K / \rho}{1 + 2(K/E)(1 + \mu)}} \quad \cdots (3)$$

ここで D : トンネルの直径 6m K : 水の弾性係数 $2.07 \times 10^8 \text{ kgf/m}^2$ ρ : 水の密度 101.97 kgf/cm^3 E : 岩盤の弾性係数 $5.27 \times 10^8 \text{ kgf/m}^2$ M : ポアソン比 0.3 へ値を(3)式に代入すると岩盤内の水擊波の伝播速度は 1002.16% となる。

(2) 水擊波の理論解析

圧力トンネル内の水擊圧の理論解析は一次元非定常流として取扱い、オイラーの運動方程式(4)式と連続方程式(5)式とのリニアコンビネーションを取ると C^- 式、 C^+ 式は(6)、(7)式となり、特性曲線法にて数値解析をあこなう。

$$L_1 = \frac{\partial V}{\partial Z} V + \frac{\partial V}{\partial T} + g \frac{\partial H}{\partial Z} + \frac{f}{2D} V^2 = 0 \quad \cdots (4)$$

$$L_2 = \frac{d^2 V}{dZ^2} V + \frac{\partial H}{\partial Z} V + \frac{\partial^2 H}{\partial T^2} V = 0 \quad \cdots (5)$$

ここで V : 流速 m/s , H : 圧力水頭 m , f : 摩擦係数 0.02, α : 圧力トンネルの傾斜角, D : 圧力トンネルの直径 6m g : 重力加速度 ds, dt, dH および dV を差分化すると C^+ 式では $ds = Sp - Sl, dt = At, dV = Vp - Vl, dH = Hp - Hl, C^-$ 式では $ds = Sp - Sr, dt = At, dV = Vp - Vr, dH = Hp - Hr$, および比例関係 $\frac{ds}{dt} = (Vp - Vl)/(At) = (Hp - Hl)/(At)$ を(6)、(7)式に代入することにより Vl, Vr, Hl, Hr および Vp, Hp を得ることができます。上流端境界条件は河川、ダムなどの貯水槽などで、水頭 H は時間軸に対して変化しないものとして、下流端境界条件は直線的に開塞するゲート式の半として解析を行う。

(3) 圧力トンネルと水擊解析モデル

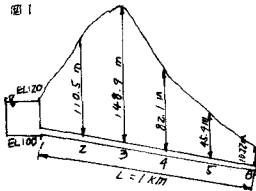


図1は水撃理論解析のモデルで海拔120mの水面(取水口は100m)から延長1kmの圧力トンネルを掘り、海拔50mに自然流下式にて放水していき場合を考え、ゲート式の弁は下流端に位置し非常時または必要な時に15秒かけて閉塞するものとして計算を行う。

延長1kmを5の10⁻⁴にわけ、上流端より断面No1から下流端の断面No6まで6つのノードとし、各断面の地山の高さはトンネル上部より地山の表面までで図のようになると。表1は弁の閉塞時間15秒とした場合の水撃解析結果で各断面における水撃圧の最大値、最小値およびその発生時間を示したのである。以上の水撃圧の時間的変化または最大値が圧力トンネルの各断面に作用する場合の各ノードの変位および各要素に働く応力などを有限要素法を用いて二次元の静的応力解析を行なう。

SET	MAX H	TIME	MIN H	TIME
1	20.0	0	20.0	0
2	43.2	10.396	16.8	16.296
3	66.4	10.526	13.6	16.794
4	89.4	10.328	17.8	16.551
5	112.4	14.101	27.1	16.749
6	133.7	9.997	36.5	16.948

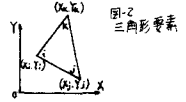
表1

2 静的応力解析

本研究は水撃圧を受ける圧力トンネルを有限要素法による平面ひずみの二次元問題として静的解析を行う。平面ひずみ状態は考えていいま平面(各断面)に垂直方向(Z方向)ひずみは存在しないが、垂直方向の応力は存在するものと定義する。

(1) 解析方法 節点 i, j, k は有する三角形要素を図-2に示す。この要素内の X 方向変位 u_i , y 方向変位 v_i は x, y の一次の変位関数として表わせるものとする。従つ?

$U = a_1 + a_2x + a_3y \quad V = a_4 + a_5x + a_6y \quad \cdots (8)$ とす。未定係数 $a_1 \sim a_6$ は i, j, k 節点の変位 $u_i, v_i, u_j, v_j, u_k, v_k$ を代入すれば U と V を決定することができます。また $a_i = X_i Y_k - X_k Y_i \quad b_i = Y_j - Y_k \quad c_i = X_k - X_j \quad \cdots (10)$ となり $a_i, a_k, b_i, b_k, c_i, c_k$ は i, j, k の添字を循環するとして求められる。また同様にして? $U = \frac{1}{2A} \{ (a_1 + b_i x + c_i y) U_i + (a_4 + b_j x + c_j y) U_j + (a_k + b_k x + c_k y) U_k \} \quad \cdots (9)$ ここで A は三角形要素の面積 A また $a_i = X_i Y_k - X_k Y_i \quad b_i = Y_j - Y_k \quad c_i = X_k - X_j \quad \cdots (10)$ となり $a_i, a_k, b_i, b_k, c_i, c_k$ は i, j, k の添字を循環するとして求められる。また同様にして? $V = \frac{1}{2A} \{ (a_4 + b_i x + c_i y) V_i + (a_1 + b_j x + c_j y) V_j + (a_k + b_k x + c_k y) V_k \} \quad \cdots (11)$ となり。



$$\text{また平面ひずみは } \begin{pmatrix} \varepsilon_x \\ \varepsilon_y \\ \gamma_{xy} \end{pmatrix} = \begin{pmatrix} b_1 & 0 & b_2 & 0 & b_3 & 0 \\ 0 & C_1 & 0 & C_2 & 0 & C_3 \\ C_1 & b_1 & C_2 & b_2 & C_3 & b_3 \end{pmatrix} \{d\} = [B] \{d\} \quad \dots (12) \quad \therefore \{d\} = [U_i V_i U_j V_j U_k V_k]^T \text{ であり, (12)式の } \varepsilon_x \\ \varepsilon_y \text{ は } X Y \text{ の関数になり, でいいなり。よ, 2 三角形要素内の任意の点で一定となる。三角形要素は非常に小さくと, たとき, その内部では一定ひずみの状態になる: これは明らかであるから三角要素はこの条件を既に満たしている。}$$

(2)応力-ひずみマトリックス

$$\text{より次式が成り立つ } \varepsilon_x = \frac{1}{E} \{ \sigma_x - \nu (\sigma_y + \sigma_z) \} \dots (13) \quad \varepsilon_y = \frac{1}{E} \{ \sigma_y - \nu (\sigma_x + \sigma_z) \} \dots (14) \quad \text{また定義より } \sigma_z = (\sigma_x + \sigma_y) \nu \dots (15)$$

(15)式を(13)(14)式代入し, $\sigma_x, \sigma_y, \tau_{xy}$ を求めると, $\begin{pmatrix} \sigma_x \\ \sigma_y \\ \tau_{xy} \end{pmatrix} = \frac{E(1-\nu)}{(1+\nu)(1-2\nu)} \begin{pmatrix} 1 & \nu(1-\nu) & 0 \\ \nu(1-\nu) & 1 & 0 \\ 0 & 0 & (1-2\nu)/2(1+\nu) \end{pmatrix} \begin{pmatrix} \varepsilon_x \\ \varepsilon_y \\ \gamma_{xy} \end{pmatrix} = [D] \begin{pmatrix} \varepsilon_x \\ \varepsilon_y \\ \gamma_{xy} \end{pmatrix} \dots (16)$ となる。

(3)剛性マトリックス

三角形要素の内部仮想仕事 δW_i は仮想ひずみと応力を掛け要素全体について積分することにより, 求められるが, 1 次式のようになる。 $\delta W_i = \int_V [\delta \varepsilon_x \delta \varepsilon_y \delta \tau_{xy}] \begin{pmatrix} \sigma_x \\ \sigma_y \\ \tau_{xy} \end{pmatrix} dV \dots (17)$: ここで V は三角形要素の体積 $\delta \varepsilon_x, \delta \varepsilon_y, \delta \tau_{xy}$ は仮想ひずみを表わす式で与えられる。 $\begin{pmatrix} \delta \varepsilon_x \\ \delta \varepsilon_y \\ \delta \tau_{xy} \end{pmatrix} = [B] \{ \delta d \} \dots (18)$: ここで $\{ \delta d \} = [\delta U_i \delta V_i \delta U_j \delta V_j \delta U_k \delta V_k]^T$ 従, 1 内部仮想仕事の積分は $[B], [D]$ が定数となることから次のようす整理せら。

$$\delta W_i = \int_V \{ \delta d \}^T [B]^T [D] \{ d \} dV = A t \{ \delta d \}^T [B]^T [D] \{ d \} \dots (19) \quad \text{: こ, では三角形要素の厚さであるが, 実際数値解析するときは単位厚さとみなしてよいとする。外部仮想仕事は仮想変位と外力を掛けることにより, 求められる式のようになる} \quad \delta W_o = [\delta U_i \delta V_i \delta U_j \delta V_j \delta U_k \delta V_k] \{ f \} \dots (20)$$

内部仮想仕事と外部仮想仕事は等しいことから (19)(20) 式を等置し整理することにより

$$\{ f \} = A t [B]^T [D] \{ d \} = [K] \{ d \} \dots (21) \quad \text{となり。: ここで } [K] \text{ は剛性マトリックスとなる節点番号の次元は統一的に行うをもととしての節点番号によ, 各要素について求めた (20) 式を全要素について重ね合せていくことにより求めようとしている系に属する力と変位の方程式が得られ, 次にこの求めた方程式に境界条件を入れてこの方程式を解くと, 未知節点変位と未知反力を求まる。}$$

(4)応力解析結果

井開壁 15 秒における最大水撃圧 13.37 kN/m², 発生時間 9.997 秒を使用し断面 6 における応力解析結果を次に示す。

図 3 は各節点の U, V における X 方向の変位と Y 方向の変位を示している。図からわかるように最大変位量は 1.508 mm で節点 7 に起きた。図 4 は各要素の σ_x における X 方向の応力と Y 方向の応力をせん断力 τ_{xy} を示している。 σ_x の最大値は 13.15 kN/cm² で要素 6 番に σ_y の最大値は 17.31 kN/cm² で要素 56 番にせん断力の最大値は 11.63 kN/cm² で要素 86 番に発生している。

図 5 は各要素における S1, S2 の最大主応力と最小主応力を示し 0 は X 軸よりの角度を示している。図のようす S1 の最大値は 17.65 kN/cm² で要素 66 番に, S2 の最小値は -11.92 kN/cm² で要素 111 番に起きた。

3. 結論

特性曲線法を使用して Z-軸に關しての水撃圧解析と有限要素法を使用しての X-Y 断面の二次元的応力解析を統合することにより, 現実の現象に直結する X-Y-Z-軸に關しての解析を行うことが可能となり時間も変えすことにより四次元的の考察が可能となった。使用した解析モデルは次の様な結果がでた。井開壁 15 秒における最大水撃圧 13.37 kN/cm² は 9.997 秒にトンネルの断面 6 に発生しその時の断面の最大主応力は 17.65 kN/cm² で要素 66 番に発生し最大変位 1.508 mm は節点 7 番に発生した。

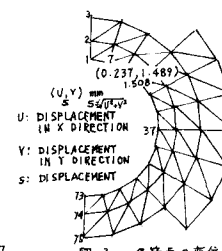


図-3 各節点の変位

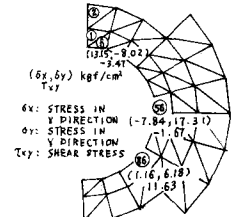


図-4 各要素の応力とせん断力

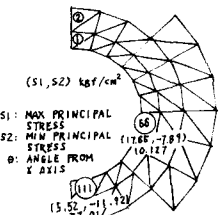


図-5 各要素における主応力